Thermal Wash-in Leptogenesis via Heavy Higgs Decay

SOKENDAI/KEK M2 渡邉秀長

K. Mukaida, HW, M. Yamada, "Thermal wash-in leptogenesis via heavy Higgs decay," JCAP 09 (2024) 063.

Introduction

宇宙マイクロ波背景放射やビッグバン元素合成の観測

$$\frac{q_B}{s} \coloneqq \frac{n_B - n_{\bar{B}}}{s} = 8.6 \times 10^{-11}$$
 $\frac{n_B}{s} :$ スプラン数名及 $n_{\bar{B}} :$ 及バリオン数密度 $s :$ エントロピー密度

 n_B :バリオン数密度

s :エントロピー密度

これだけのバリオン数生成が必要。



そもそも初めから存在していた可能性は?

インフレーションとその後の再加熱があるため難しい。



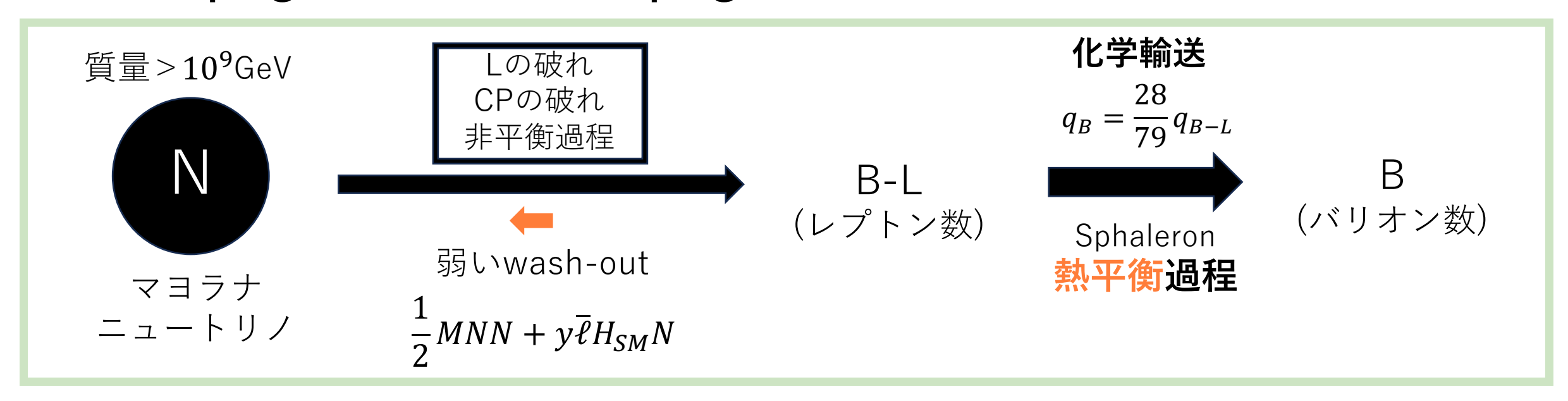
バリオン数生成の問題は避けられない!

標準模型を超えた物理が必要。

Leptogenesis

Vanilla leptogenesis (Thermal leptogenesis)

M. Fukugita, T. Yanagida Phys.Lett.B 174 (1986) 45-47

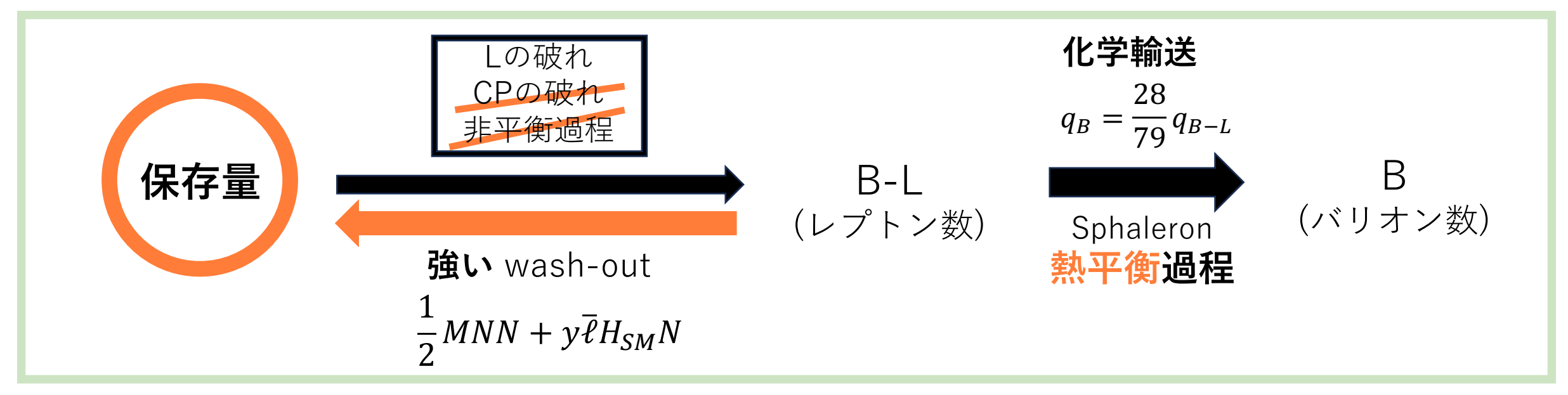


十分なバリオン数を生成するための条件

- Wash-outが弱く、非平衡な過程
- ニュートリノ湯川相互作用のCPの破れ
- 大きいマヨラナ質量
- 三つの破れが同スケールで起こる

Our work

Wash-in leptogenesis + Three Higgs doublet model



十分なバリオン数を生成するための条件

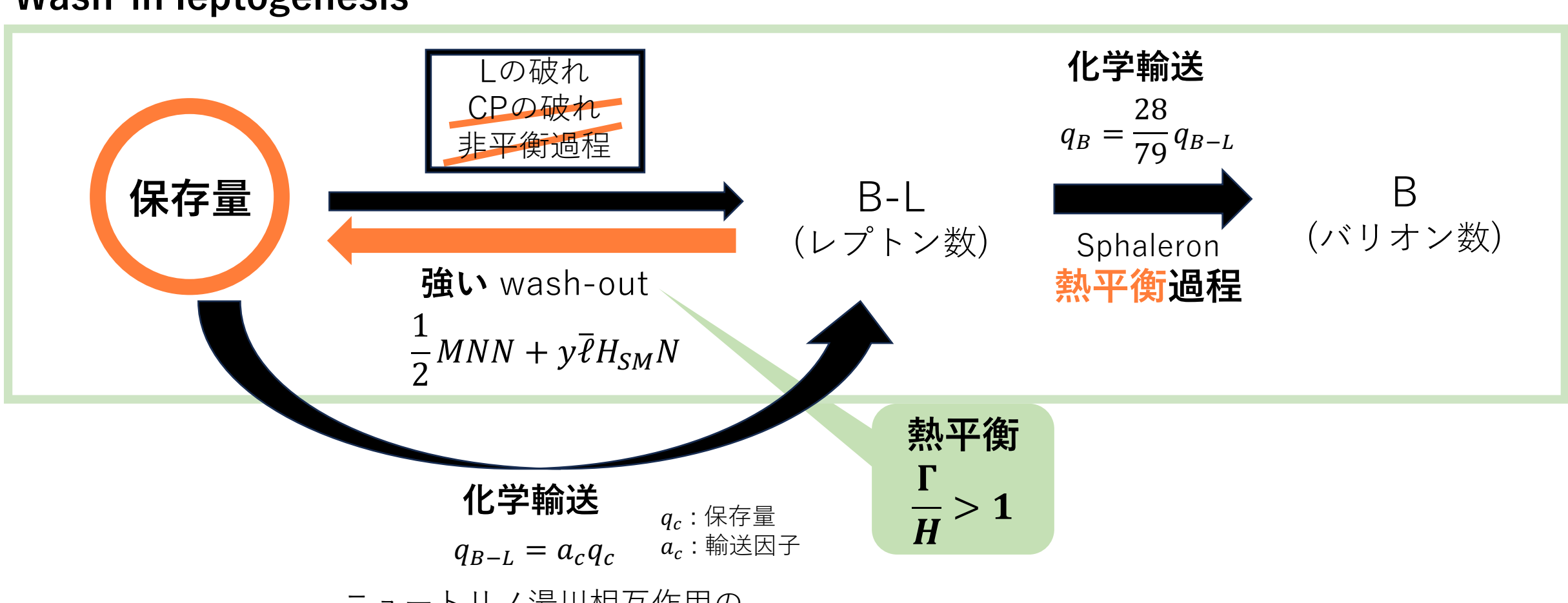
- Wash-cutが弱く、非平衡な過程
- ニュートリノ湯川相互作用のCPの破れ
- 大きいマヨラナ質量
- 三つの破れが同スケールで起こる

これらの条件を 満たさずとも バリオン数生成 は可能

Wash-in Leptogenesis

V. Domcke et al., Phys. Lev. Lett. 126 (2021) 201802.

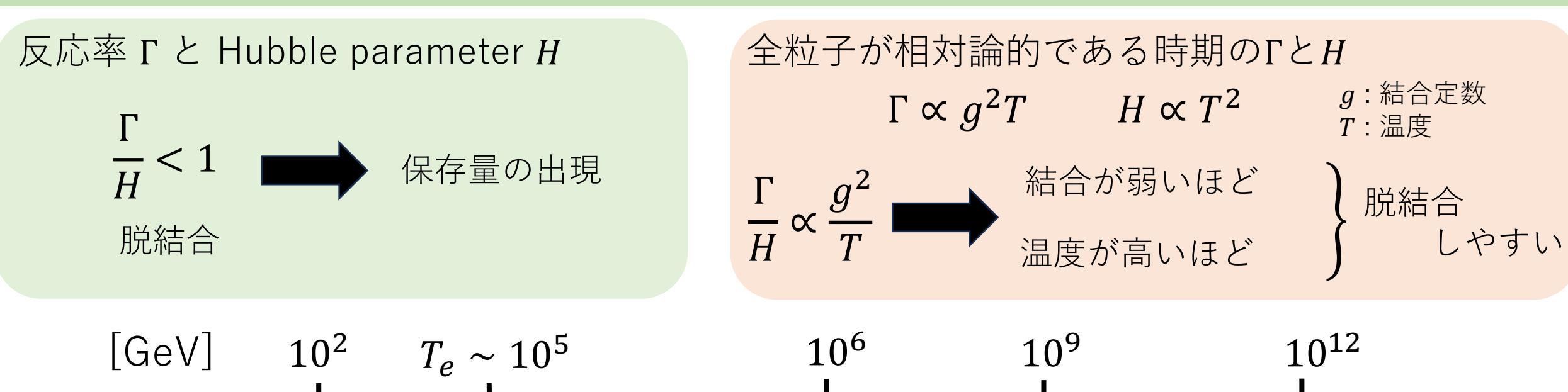
Wash-in leptogenesis

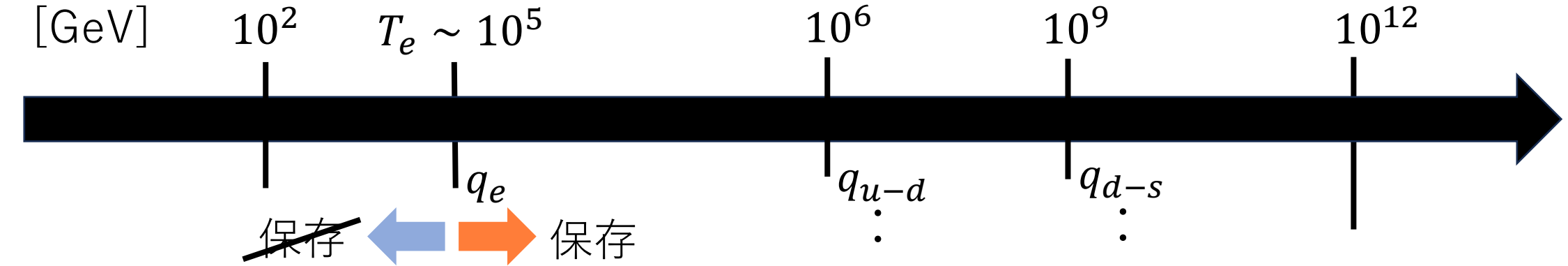


ニュートリノ湯川相互作用の

熱平衡過程

脱結合と保存量





右巻き電子非対称性 q_e が最も低い温度まで保存量になる。

 q_e をB-Lの源として採用

$$q_{B-L} = -\frac{3}{10}q_e$$

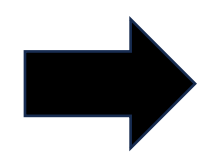
残る問題はどうやってqeを作るか

保存量を作るいくつかのモデル

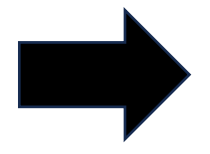
- GUT baryogenesis [V. Domcke et al., Phys. Lev. Lett. 126 (2021) 201802.]
- Axion Inflation [V. Domcke, *et al.*, 2210.06412]
- PBHの蒸発 [K. Schmitz, et al., 2311.01089]

etc

しかし、これらのモデルは保存量を作る際に別のchargeも破っている。



そのようなchargeの破れは必要なし



3HDM

Three-Higgs doublet model

V. Keus, S. F. King, and S. Moretti, *JHEP* **01** (2014) 052, arXiv:1310.8253 [hep-ph].

$$\mathcal{L} = \mathcal{L}_{\text{SM}} + \mathcal{L}_{\text{RH}\nu} + \mathcal{L}_{HH}$$

$$\mathcal{L}_{\mathrm{RH}\nu} = \bar{N}_{i}i\partial N_{i} - \frac{1}{2}M_{i}\bar{N}_{i}N_{i} - \left(\bar{\ell}_{f}\tilde{H}_{\mathrm{SM}}\lambda_{fi}^{\mathrm{SM}}N_{i} + \mathrm{H.c.}\right)$$

q_{R-L}を生成する熱平衡過程

$$\mathcal{L}_{HH} = |DH_{\alpha}|^2 - M_{H_{\alpha}}^2 |H_{\alpha}|^2 - \left(\bar{\ell}_f H_{\alpha} Y_{ff'}^{\alpha} e_{f'} + \bar{\ell}_f \tilde{H}_{\alpha} \lambda_{fi}^{\alpha} N_i + \text{H.c.}\right)$$

q_e を生成するHiggsの崩壊

- CPを破る
- Lを破らない

:マヨラナニュートリノ N_i

:マヨラナ質量 M_i

: lepton doublet

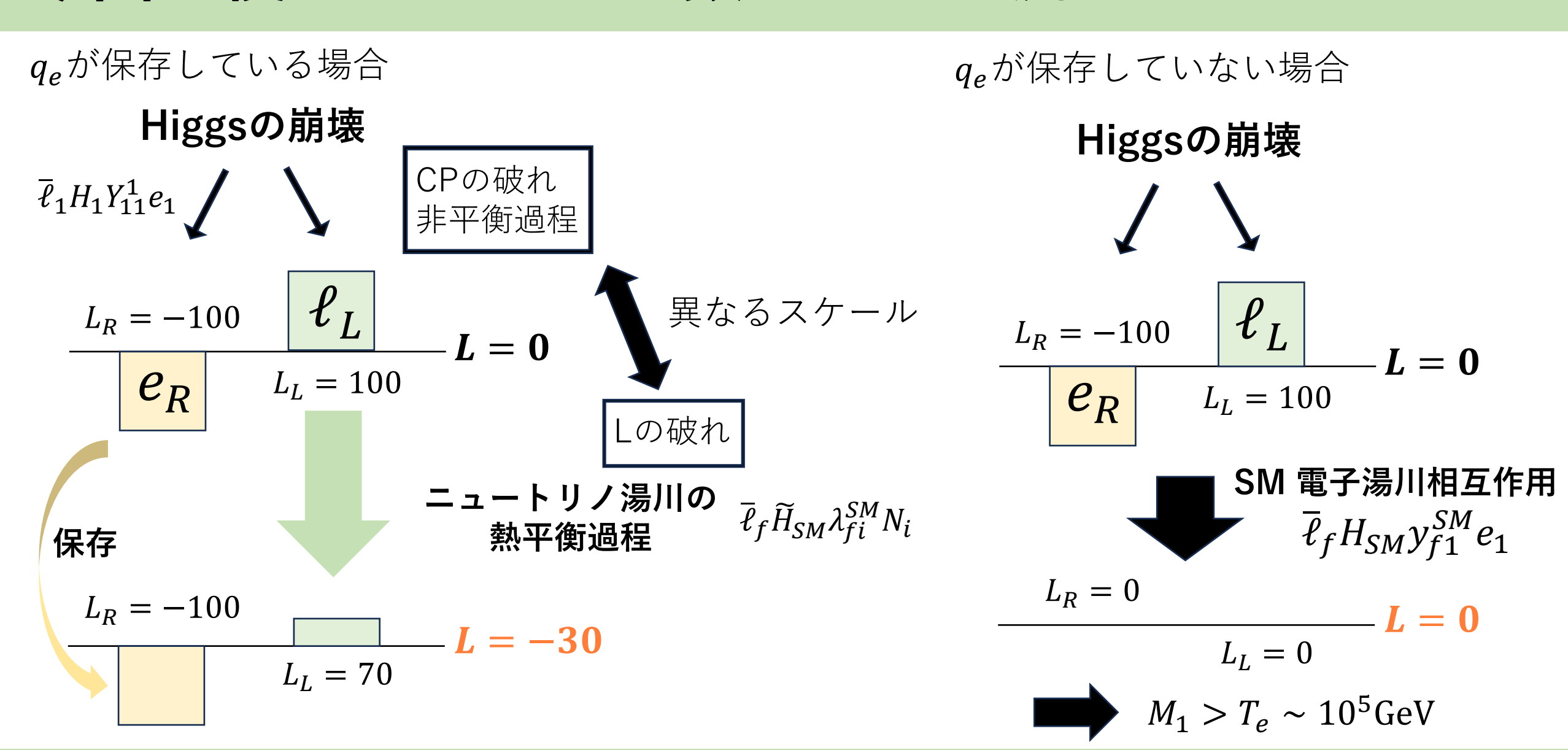
: SM Higgs doublet H_{SM}

 $H_{\alpha}(\alpha = 1,2)$:新たなHiggs doublet

 $M_{H_{\alpha}}$ λ^{SM} , Y, λ $: H_{\alpha}$ の質量

: 結合定数

今回の模型でバリオン数ができる流れ



結果

今回のシナリオでの各粒子の質量

 $M_1 \sim 10^5 \, \text{GeV}$

Majorana質量

Higgsの質量

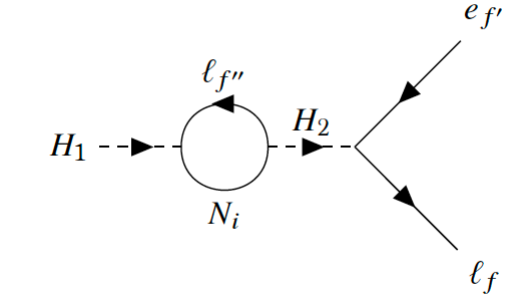
 $M_{H_1} \sim 10^{12} \text{GeV}$

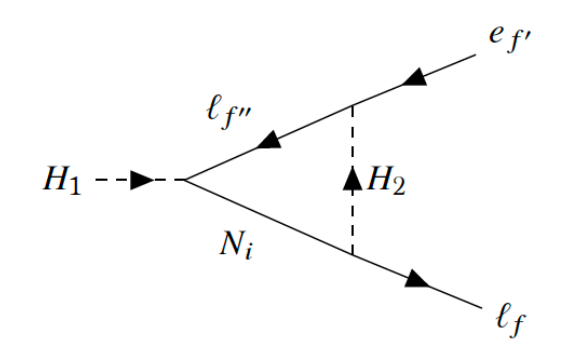
Higgsの崩壊が非平衡 であるための条件

最終的なbaryon asymmetry

observation :
$$\frac{q_B}{s} \sim 8.6 \times 10^{-11}$$

$$\frac{q_B}{S} \sim 8 \times 10^{-11} \delta_{CP} \left(\frac{Y}{0.01}\right)^2$$
 $\delta_{CP} : CP$ 位相 $Y : 湯川の結合定数$







3HDMでバリオン数生成が可能

Summary and Future Work

Summary

- 一般的なleptogenesisでは「wash-outが弱く非平衡」などの条件が必要だが 我々はwash-in leptogenesisとthree Higgs doublet modelを用いることで それらを満たさなくてもバリオン数生成が可能であることを示した。
- 今回のシナリオでは、マヨラナの質量が 10^5 GeV、Higgsの質量が 10^{12} GeVで バリオン数生成を説明できることが分かった。

最新の研究 [K. Schmitz, et al., (2501.07634)]によると, M_1 は最大7TeVまで下げられることが判明。

Future Work

- 他の保存量の場合はどうか?(Higgsは湯川を通してquarkとも結合できる。)
- ボルツマン方程式を用いたより定量的な解析

Back up

The condition to determine M_{H_1}

Suppose weak wash-out to produce enough q_e



$$1 \ge \frac{1}{H} \Big|_{T=M_{H1}}$$



$$M_{H_1} \ge 10^{12} \text{GeV} \left(\frac{Y}{0.01}\right)^2$$

Decay rate
$$\Gamma \sim \frac{1}{16\pi} \operatorname{tr}(Y^{1\dagger}Y^{1}) M_{H_{1}}$$
 Hubble parameter
$$H = \sqrt{\frac{\pi^{2}}{90}} g_{*} \frac{T^{2}}{M_{pl}} \text{ (RD)}$$

$$H = \sqrt{\frac{\pi^2}{90} g_*} \frac{T^2}{M_{pl}}$$
 (RD)

Relation between B and B-L

Conserved quantities

$$q_Y = 0$$

$$\frac{B}{3} - L_f$$
 $f = e, \mu, \tau$



$$\sum (\mu_{qi} + 2\mu_{ui} - \mu_{di} - \mu_{li} - \mu_{ei}) + 2\mu_H = 0$$



$$\frac{B}{3} - L_f \quad f = e, \mu, \tau \qquad \qquad \frac{1}{3} \sum (2\mu_{qi} + \mu_{ui} + \mu_{di}) - 2\mu_{lf} - \mu_f$$

Equilibrium process

strong sphaleron



$$\sum (2\mu_{qi} - \mu_{ui} - \mu_{di}) = 0$$



$$\sum (3\mu_{qi} + \mu_{li}) = 0$$





$$\mu_{qi} + \mu_H - \mu_{uj} = 0$$

Down yukawa



$$\mu_{qi} - \mu_H - \mu_{dj} = 0$$

Charged lepton yukawa ———



$$\mu_{li} - \mu_H - \mu_{ej} = 0$$



$$q_B = \frac{28}{79} q_{B-L}$$

$$q_X = \frac{g}{6}T^2 \begin{cases} \mu_X/T & \text{fermions} \\ 2\mu_X/T & \text{bosons} \end{cases}$$

Relation between B-L and q_e

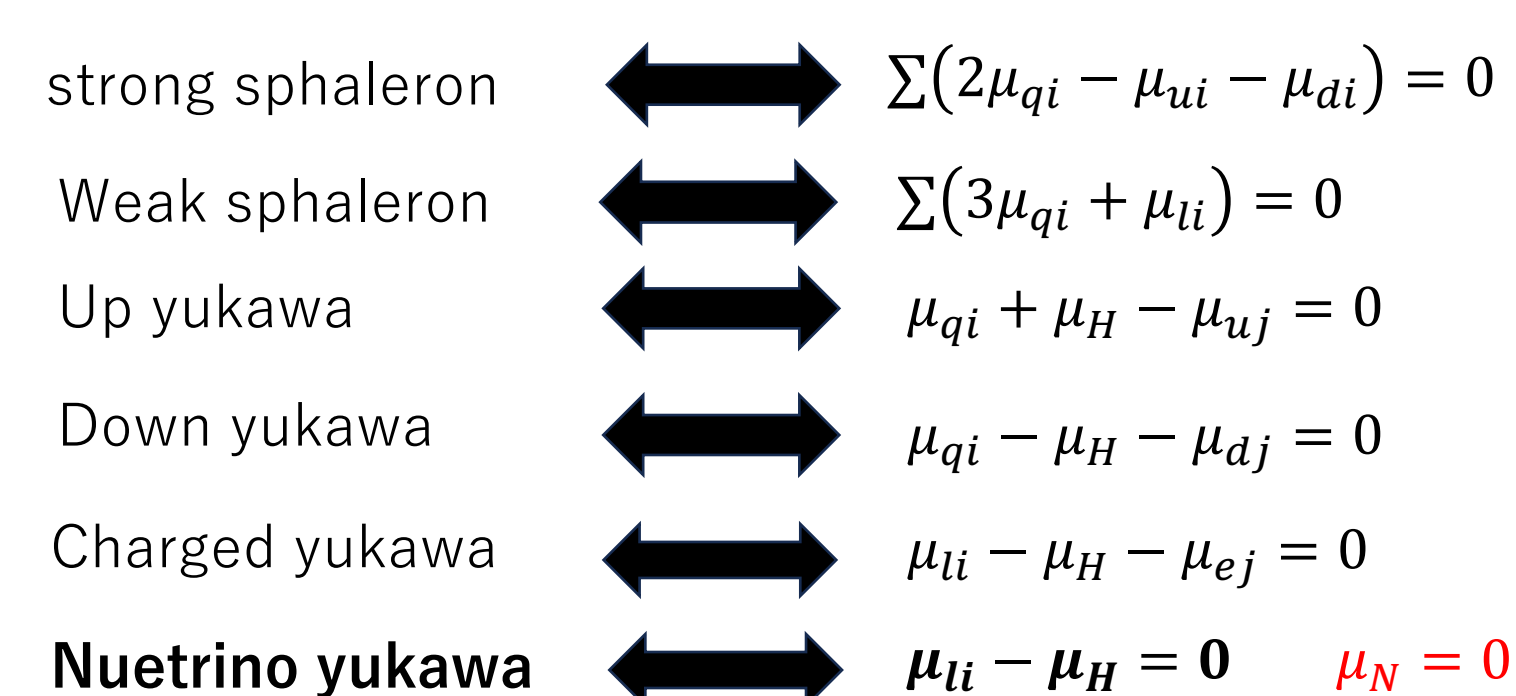
 $10^5 \text{ GeV} < T < 10^6 \text{ GeV}$

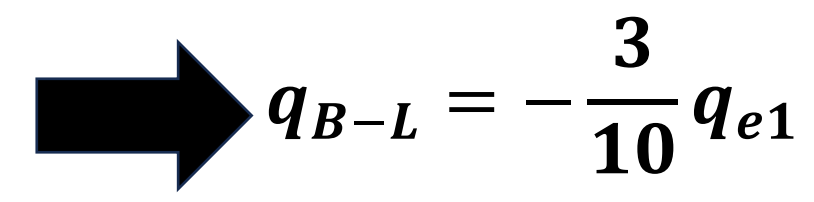
Conserved quantity

$$q_{Y} = 0 \qquad \sum (\mu_{qi} + 2\mu_{ui} - \mu_{di} - \mu_{li} - \mu_{ei}) + 2\mu_{H} = 0$$

$$q_{e1} \qquad \mu_{e1}$$

Equilibrium process





The amount of right-handed electron asymmetry

$$\frac{q_B}{S} = \frac{28}{79} \frac{q_{B-L}}{S} = \frac{42}{395} \frac{q_e}{S}$$
 Sphaleron equilibrium
$$q_B = \frac{28}{79} q_{B-L}$$
 Neutrino yukawa equilibrium
$$q_{B-L} = -\frac{3}{10} q_e$$

$$\frac{q_B}{s} \sim 8.6 \times 10^{-11}$$

$$\frac{q_e}{S} \simeq -8.1 \times 10^{-10}$$
 This is the value to explain today's baryon asymmetry!

The production of q_{ρ} in 3HDM

$$\begin{split} \frac{q_e}{s} \coloneqq \frac{n_e}{s} - \frac{n_{\bar{e}}}{s} &= \frac{\Gamma_{\bar{H}_1 \to e\bar{\ell}}}{\Gamma_{H_1}} \frac{n_{\bar{H}_1}}{s} - \frac{\Gamma_{H_1 \to \bar{e}\ell}}{\Gamma_{H_1}} \frac{n_{H_1}}{s} \\ &= -\frac{\Gamma_{H_1 \to \bar{e}\ell} - \Gamma_{\bar{H}_1 \to e\bar{\ell}}}{\Gamma_{H_1}} \frac{n_{H_1}}{s} \end{split} \qquad \qquad \end{split}$$
 Assumption: Thermal production of H_1
$$\frac{n_{H_1}}{s} = \frac{n_{\bar{H}_1}}{s} = \frac{45\zeta(3)}{\pi^4} \frac{1}{g_*} \qquad \qquad \qquad g_*: \text{effective degrees of freedom} \end{split}$$

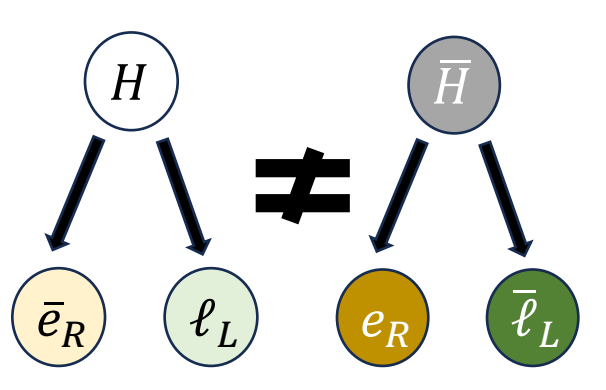
$$c = -\epsilon_{\bar{e}\ell} \times \frac{45\zeta(3)}{\pi^4} \frac{1}{g_*}$$

$$c = -\epsilon_{\bar{e}\ell} \times \frac{45\zeta(3)}{\pi^4} \frac{1}{g_*}$$

$$\Gamma_{H_1} \coloneqq \Gamma_{H_1 \to \bar{e}\ell} + \Gamma_{H_1 \to \ell N}$$

 $\epsilon_{\bar{e}\ell}$: asymmetry parameter (CP violation)

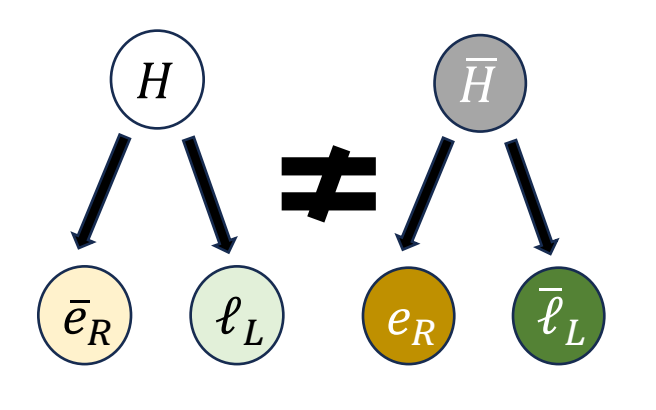
$$\epsilon_{\bar{e}\ell} \coloneqq \frac{\Gamma_{H_1 \to \bar{e}\ell} - \Gamma_{\bar{H}_1 \to e\bar{\ell}}}{\Gamma_{H_1 \to \bar{e}\ell} + \Gamma_{\bar{H}_1 \to e\bar{\ell}}}$$

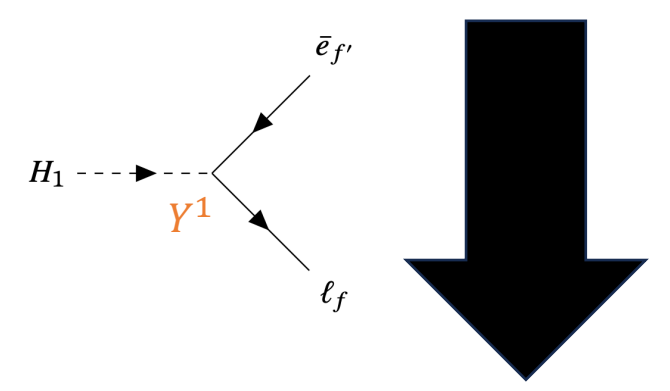


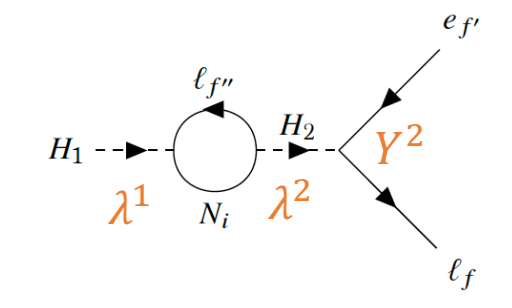
Asymmetry parameter

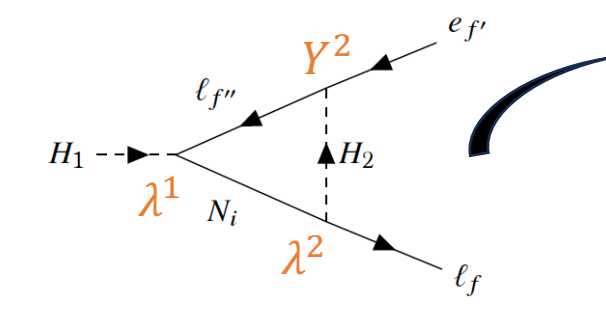
 $\epsilon_{\bar{e}\ell}$: asymmetry parameter (CP violation)

$$\epsilon_{\bar{e}\ell} \coloneqq \frac{\Gamma_{H_1 \to \bar{e}\ell} - \Gamma_{\bar{H}_1 \to e\bar{\ell}}}{\Gamma_{H_1 \to \bar{e}\ell} + \Gamma_{\bar{H}_1 \to e\bar{\ell}}}$$









We need to calculate one-loop to get ϵ

$$\Gamma^{(0)}_{H_1 \to \bar{e}\ell} \sim \left| Y^1 \right|^2 M_{H_1}$$



CP transformation

$$\Gamma_{\overline{H}_1 \to e\overline{\ell}}^{(0)} \sim \left| Y^{1*} \right|^2 M_{H_1}$$

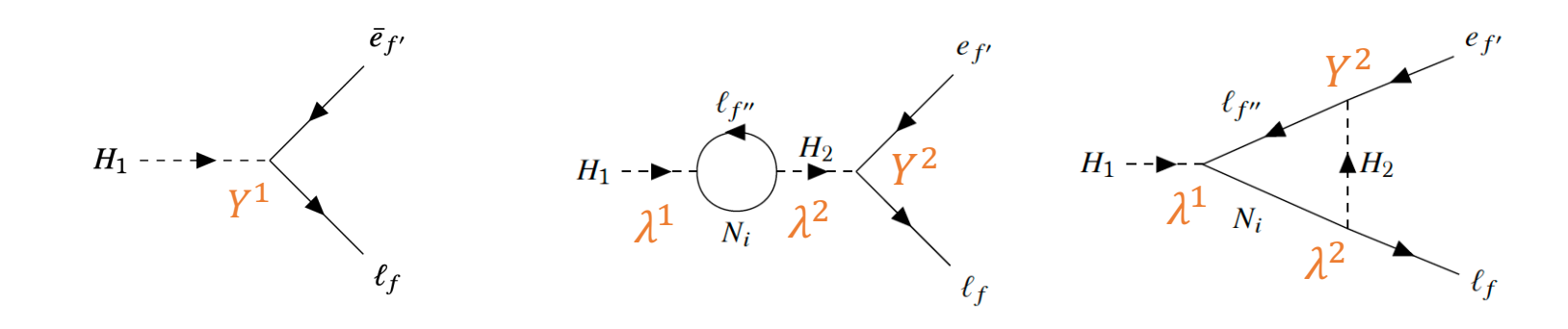
Asymmetry parameter comes from interference

between tree and one-loop

$$\epsilon_{\bar{e}\ell} \propto \frac{\operatorname{Im}\left(Y_{11}^{1}Y_{11}^{2\dagger}\lambda_{11}^{1}\lambda_{11}^{2\dagger}\right)}{|Y^{1}|^{2}}$$

 $Im(\cdots)$ CP violation

Asymmetry parameter



$$\epsilon_{\bar{e}\ell} = \frac{1}{8\pi} \frac{\text{Im}(Y_{11}^1 Y_{11}^{2\dagger} \lambda_{11}^1 \lambda_{11}^2)}{\text{tr}(Y^{1\dagger} Y^1)} \left(\frac{1}{x^2 - 1} + 1 - x^2 \log\left(1 + \frac{1}{x^2}\right) \right)$$
self vertex

$$x = M_{H_2}/M_{H_1}$$